

INSTITUTO GEOLOGICO Y MINERO DE ESPAÑA

HOJA 04 - 09
VILLAGARCIA DE AROSA

INFORMACION COMPLEMENTARIA

INFORME SEDIMENTOLOGICO

MADRID, 1979



TECNICOS CONSULTORES REUNIDOS, S.A.



TECNICOS CONSULTORES REUNIDOS, S. A.

INFORME SEDIMENTOLOGICO COMPARATIVO DE MUESTRAS
ARENAS DE PLAYA Y PLAYAS LEVANTADAS; DE LAS HOJAS
DE : VILLAGARCIA DE AROSA (0409), NOYA (0308) Y OUTES -
(0307).

Los estudios sedimentológicos de las muestras a las que se refiere este informe han sido realizados por MARTINEZ CASTELO J. (Ldo. Ciencias Geológicas) en los laboratorios de TASEMACO S. A.

0. RELACION DE MUESTRAS ESTUDIADAS:

Se ha analizado el estudio mineralógico y granulométrico de las siguientes muestras.

HOJA DE OUTES (0307):

0307 - TC - DR - 0315, Playa de Carnota.

0307 - TC - DR - 0414, Playa de Ezaro, Desembocadura del - Xallas.

0307 - TC - DR - 0415, Playa de San Pedro, El Pindo.

HOJA DE NOYA (0308):

0308 - TC - DR - 0082, Playa levantada en punta Miñarzo.

0308 - TC - DR - 0179, Playa de Broña, Ría de Muros y Noya.

0308 - TC - DR - 0191, Playa de Arnela.

HOJA DE VILLAGARCIA DE AROSA (0409):

0409 - TC - HU - 1200, Playa del Pasaje, Ría de Arosa.

0409 - TC - HU - 1201, Playa del Rego, Ría de Arosa.

I. - TECNICA

El estudio mineralógico de la fracción pesada, se ha llevado a cabo sobre los tamaños de arena comprendidos entre 0'149 mm. y 0'210 mm.

Se ha seguido el método tradicional de separación por líquidos densos, utilizando Bromoformo "Scharlau", de densidad 2'81-2'83.

En el cuadro I se han representado los porcentajes en peso de las fracciones ligera y pesada de cada muestra.

Una vez obtenidas las fracciones pesadas, se han montado sobre bálsamo de Canadá para su estudio estadístico mineralógico en grano, realizado bajo microscopio petrográfico; este estudio se detalla en el apartado III.

MUESTRA	% FRACCION LIGERA	% FRACCION PESADA
DR-0315	80'4	19'6
DR-0414	98'4	1'6
DR-0415	99'5	0'5
DR-0082	65'2	34'8
DR-0179	99'5	0'5
DR-0191	96'3	3'7
HU-1200	99'1	0'9
HU-1201	98'6	1'4

CUADRO I. - Porcentajes en peso de las fracciones ligera y pesada.

II. - GENERALIDADES DE LA FRACCION LIGERA

La fracción ligera ha sido analizada bajo lupa binocular, realizándose una estimación de sus componentes esquematizada en el cuadro II.

MUESTRA	CUARZO	FELDESPATO	MOSCOVITA	CARBONALES
DR-0315	+++	+		+++
DR-0414	+++	+++	++	+
DR-0415	+++	+/-	+	+++
DR-0082	+++	++	++	+
DR-0179	+++	++	++	
DR-0191	+++	++	-	+++
HU-1200	+++	+++	++	+
HU-1201	+++	++		++
	+++		Abundante	
	++		Presente	
	+		Escaso	
	-		Ausente	

CUADRO II. - Estimación de los distintos componentes de la fracción ligera.

A continuación se detallan las características más importantes de cada componente de cada una de las muestras.

DR-82. - El cuarzo se presenta anguloso-subanguloso, y en menor proporción subredondeado. La gran mayoría de sus granos presentan páginas de óxidos de hierro, y son de aspecto lechoso. Existe una pequeña fracción de individuos más limpios y transparentes con un grado menor de redondez.

Los feldespatos presentan asimismo, páginas de óxidos de hierro y suelen ser algo más redondeados.

Las moscovitas presentan inclusiones opacas.

Los carbonatos son muy redondeados, constituidos por fragmentos de conchas y espículas de equinodermos.

DR-179. - El cuarzo, es anguloso y muy anguloso, de aspecto lechoso y transparente.

Los feldespatos son angulosos y subangulosos.

La moscovita se encuentra con o sin inclusiones opacas.

DR-191. - El cuarzo se encuentra limpio, y es transparente; subangulosos-subredondeado.

El feldespato subredondeado-redondeado.

Los carbonatos son fragmentos de conchas y espículas de equinodermos, principalmente. Muy redondeados pero de esfericidad muy variable.

DR-414 y HU-1200. - El cuarzo, lechoso y en menor proporción limpio y transparente, es anguloso-subangulosos. Más raro con páginas de óxidos de hierro.

El feldespato es sub-angulosos-subredondeado.

HU-1201. - El cuarzo, lechoso y limpio, es muy anguloso y angulosos.

El feldespato es subangulosos.

Los carbonatos, son fragmentos de conchas y espículas de equinodermos, de gran redondez y esfericidad muy variable.

DR-315. - El cuarzo se presenta limpio, transparente, subangulosos-subredondeado, incluso redondeado.

Los carbonatos presentan una gran variedad de formas heredadas (aciculares, discoidales, etc.), muy redondeados y de esfericidad variable.

Los feldespatos son subredondeados.

DR-415. - El cuarzo, es lechoso y transparente, subangulosos-subredondeados, y de angulosidad mayor los transparentes.

Los carbonatos, al igual que las anteriores muestras, muy redondeados.

Los feldespatos son subredondeados.

III. - FRACCION PESADA.

En el cuadro III, aparecen reflejados los ~~porcentajes~~ de las distintas mineralogías de la fracción pesada.

Los minerales opacos se han agrupado y totalizados en una única casilla. No obstante en el apartado III.1., se realiza una estimación de la composición mineralógica opaca.

Conviene destacar que en algunas muestras, una gran proporción de carbonatos han entrado a formar parte de la fracción pesada (DR-0191, - DR-0315 y DR-0415). Sin embargo, se ha considerado de poca utilidad su cuantificación, desestimándose en la realización del cuadro III.

III.1. - MINERALES OPACOS.

El mineral opaco más abundante en la mayorfa de muestras, es la ilmenita. Son granos muy redondeados y subredondeados. En otras muestras (DR-0414, HU-1200 y HU 1201), los componentes mayoritarios opacos, son óxidos de hierro (hematites), formando granos muy angulosos. En estas muestras, y dentro de la mineralogía opaca, se encuentran indicios de pirita, calcopirita, magnetita, wolframita y oro.

III. 2. - MINERALES TRANSLUCIDOS.

Biotita. - Se encuentra en proporciones muy variables en todas las muestras. Son cristales típicos que presentan muy a menudo halos pleocroicos oscuros, con inclusiones de círcón.

Clorita. - En algunas muestras ausente, presenta inclusiones de círcón, y opacos.

Epidota. - Granos redondeados y subredondeados, amarillentos y turbios; su presencia es constante en todas las muestras.

Turmalina. - Se presenta en cristales prismáticos cortos, subeuhedrales así como cristales muy redondeados en ciertas muestras. Presenta colores variados principalmente pardas, verduzas y en menor proporción azules.

Círcón. - Presente en todas las muestras en cristales prismáticos, o en granos redondeados con abundantes inclusiones.

Apatito. - Se encuentra formando cristales aciculares y granos redondeados, También como inclusiones dentro de otras unidades mineralógicas.

Granate. - Granos redondeados, o en menor proporción angulosos. Son rosas o transparentes, éstos últimos más escasos. Muy abundantes en ciertas muestras (DR-0082, DR-0191 y DR-0315).

Andalucita. - Normalmente formando granos angulosos, y en menor proporción redondeados. Con gran pleocroismo rosa característico, y abundantes inclusiones carbonosas. Presente en todas las muestras.

Sillimanita. - Se encuentra en granos redondeados y subredondeados ; típicamente fibrosos. Se encuentra ausente en algunas muestras.

Estaurolita. - Presente en todas las muestras en formas prismáticas redondeadas y en granos pardos redondeados.

Rutilo. - Granos muy redondeados de color rojizo oscuro, presente en todas las muestras.

Hornblenda. - Cristales prismáticos cortos, fracturales, verdes amarillentos y pardos ; subangulosos y en menor proporción redondeados.

Casiterita. - Asociada a granos opacos, de color rojizo, pleocroica. Excepto en la muestra DR-0315, se presenta en todas las demás, aunque en pequeñas proporciones.

Monacita. - En granos verdes amarillentos, redondeados, en pequeñas muestras.

Anatasa y Brockita. - Su presencia es muy intermitente en las muestras, tomando siempre valores muy pequeños. Cristales subhexagonales de tonalidades amarillentas.

	DR - 0082	DR - 0179	DR - 0191	DR - 0414	HU - 1200	HU - 1201	DR - 0315	DR - 0415
Opacos	28	20'6	25'4	61'5	57'5	83'4	30'9	38'5
Biotita	P	44'6	1'5	16'3	13'2	6'4	P	1'8
Clorita	—	4	P	2'5	13'9	3	—	1'4
Epidota	1'1	3	3'3	1'6	P	0'7	1'2	2'3
Turmalina	8	5'4	14'2	3'6	3'2	1'5	10'7	15'1
Circón	8'7	1'2	4'1	1'1	1'4	+	13'8	11
Apatito	4'7	4'9	5'2	1'8	1'4	+	3'9	9'6
Granate	34'2	1'2	20'8	0'5	1'4	P	21'9	0'5
Andalucita	3'3	1'2	14'2	1'8	2'1	1'9	7'5	5
Sillimanita	P	0'7	1'5	0'7	0'7	—	—	0'9
Estaurolita	5'4	1'9	4'8	1'4	2'5	P	5'6	3'2
Rutilo	2'9	1'2	1'5	0'9	1'1	0'7	1'2	1'4
Mornblenda	P	7	1'5	3'6	0'7	1'5	1'2	7'8
Casiterita	0'7	P	1'1	0'9	P	+	—	1'4
Monacita	1'8	2'1	1'1	1'3	+	—	1'2	+
Anatasa	—	0'5	—	—	+	—	P	—
Brockita	—	P	—	P	—	—	P	—

P; Porcentaje menor del 0'5%

+; Indicios

— ; Ausente.

CUADRO III. - Porcentaje de los distintos minerales pesados de las muestras.

MUESTRA 0307 - TC - DR - 0315.

Este sedimento se puede decir lo mismo que en la muestra 0307-TC-DR 0191.

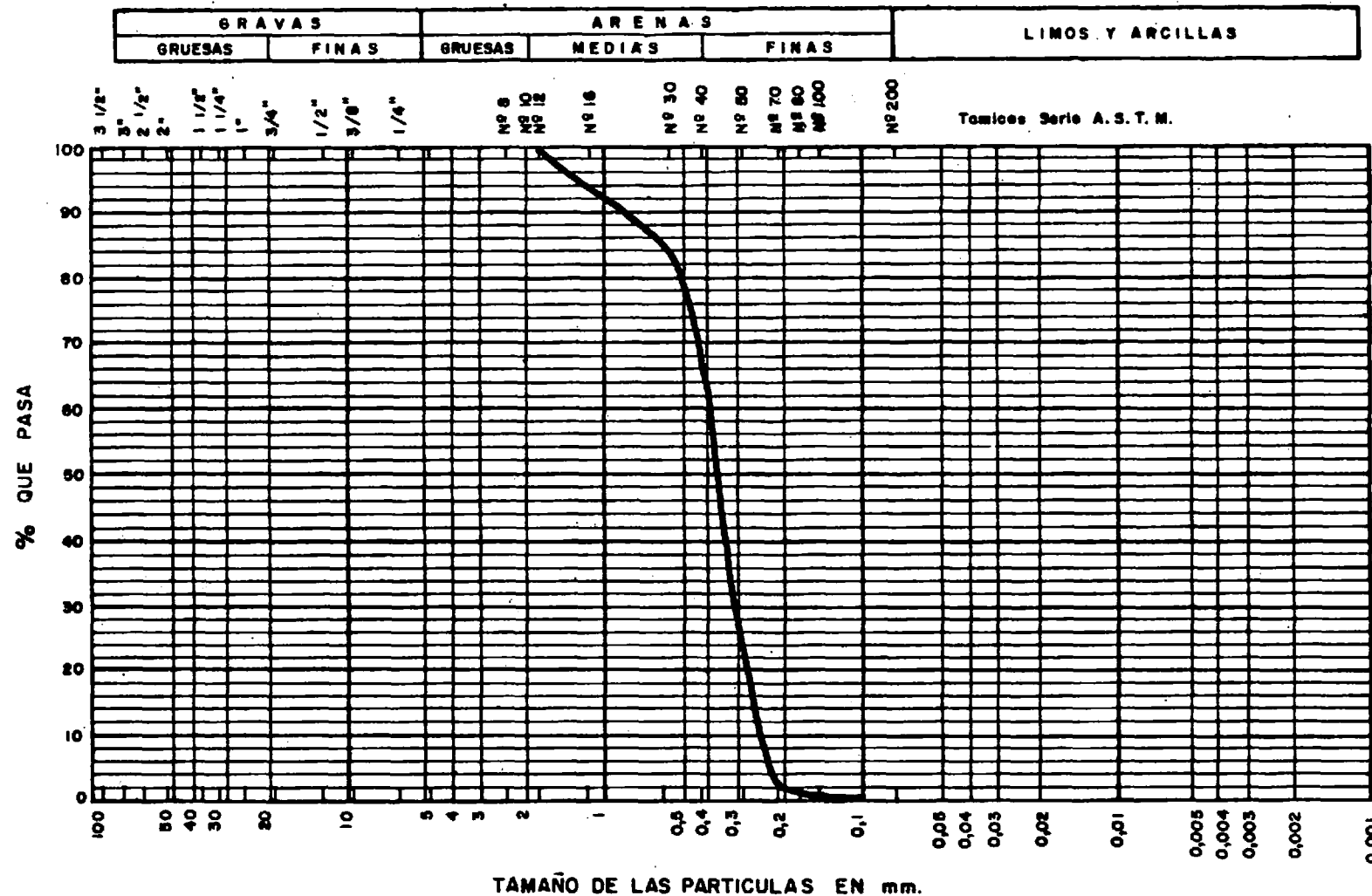
Es un depósito de playa "modulado" por la acción de las olas superficiales; es característico este tipo de granulometría de las "playas de estuario" que en el curso de su camino a playas libres reducen su parte central () a granulometría con una maceta bien definida.

La diferencia la 0307-TC-DR-0191 es que es un sedimento menor evolucionado, pues es mayor la diferencia entre su media y su mediana. Hay una eliminación diferencial de los finos con tendencia a la modulación, pero menor que en la 0307-TC-DR-0191 para una misma mediana.

Mediana	So	Desviación estandar
0,370	1,29	0,19
Bien diferenciada		

ANALISIS GRANULOMETRICO

MUESTRA N° 0307-TC-DR-0315



MUESTRA 0307 - TC - DR - 0414.

Este depósito presenta un espacio granulométrico con dos aspectos, primero una facies hiperhólica NLO en las fracciones groseras y una facies parabólica en la más fina, con un leve tramo rectilíneo.

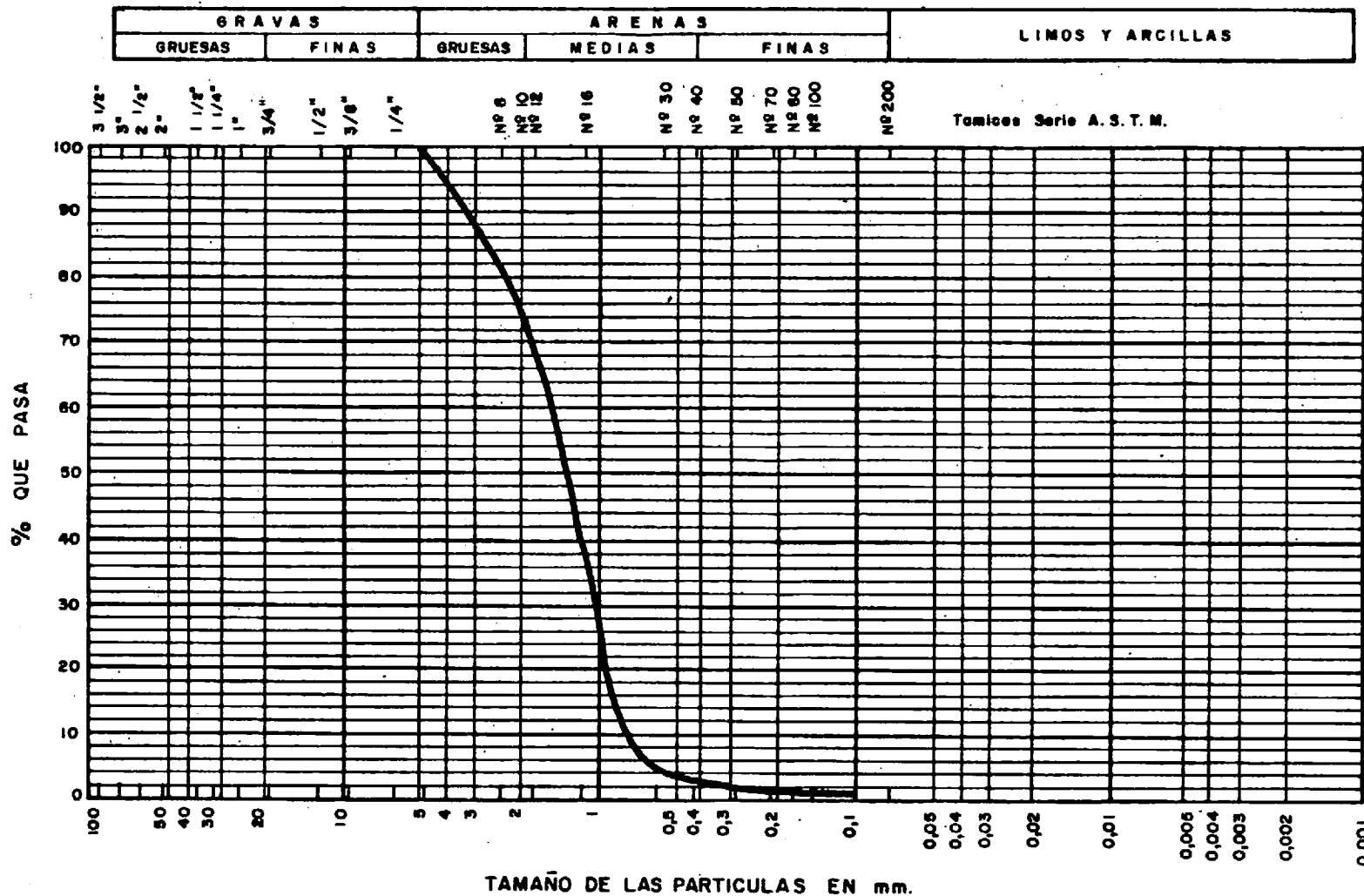
La facies granulométrica de este depósito corresponde a un material que va caminando a lo largo de la costa por efecto de corrientes litorales habiendo un reemplazamiento progresivo del material transportado por agitación de superficies, a una suspensión uniforme en el sentido de Passage de facies hiperbólica. Esta interpretación está de acuerdo con el hecho que hay crecidas que transportan gran cantidad de material que se deposita en suspensión gradada; dispersada después por las olas y corrientes de olas longitudinales. Son depósitos de rodamiento con índices de evolución muy elevado.

Mediana	So	Desviación estandar
1,2	2	0,8

Moderadamente clasificado.

ANALISIS GRANULOMETRICO

MUESTRA N° 0307-TC-DR-0414



MUESTRA 0307 - TC - DR - 0415.

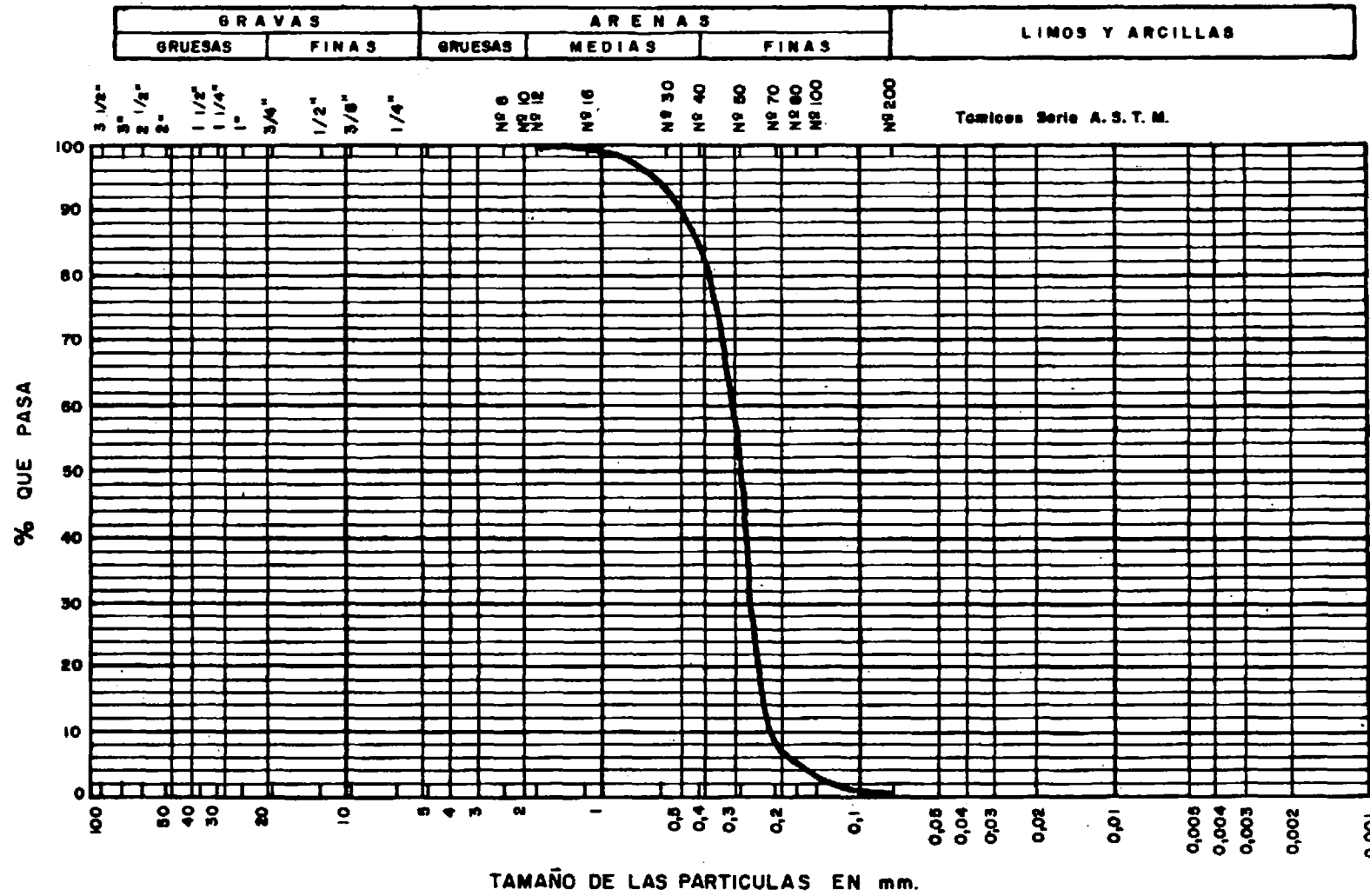
Exactamente igual que lo dicho en nº 1 (0308 - TC - DR - 0191), añadiendo que es de una evolución mayor.

Mediana	So	Desviación estandar
0,294	1,15	1,1

Bien clasificada.

ANALISIS GRANULOMETRICO

MUESTRA N° 0307-TC-DR-0415



MUESTRA 0308 - TC - DR - 0082.

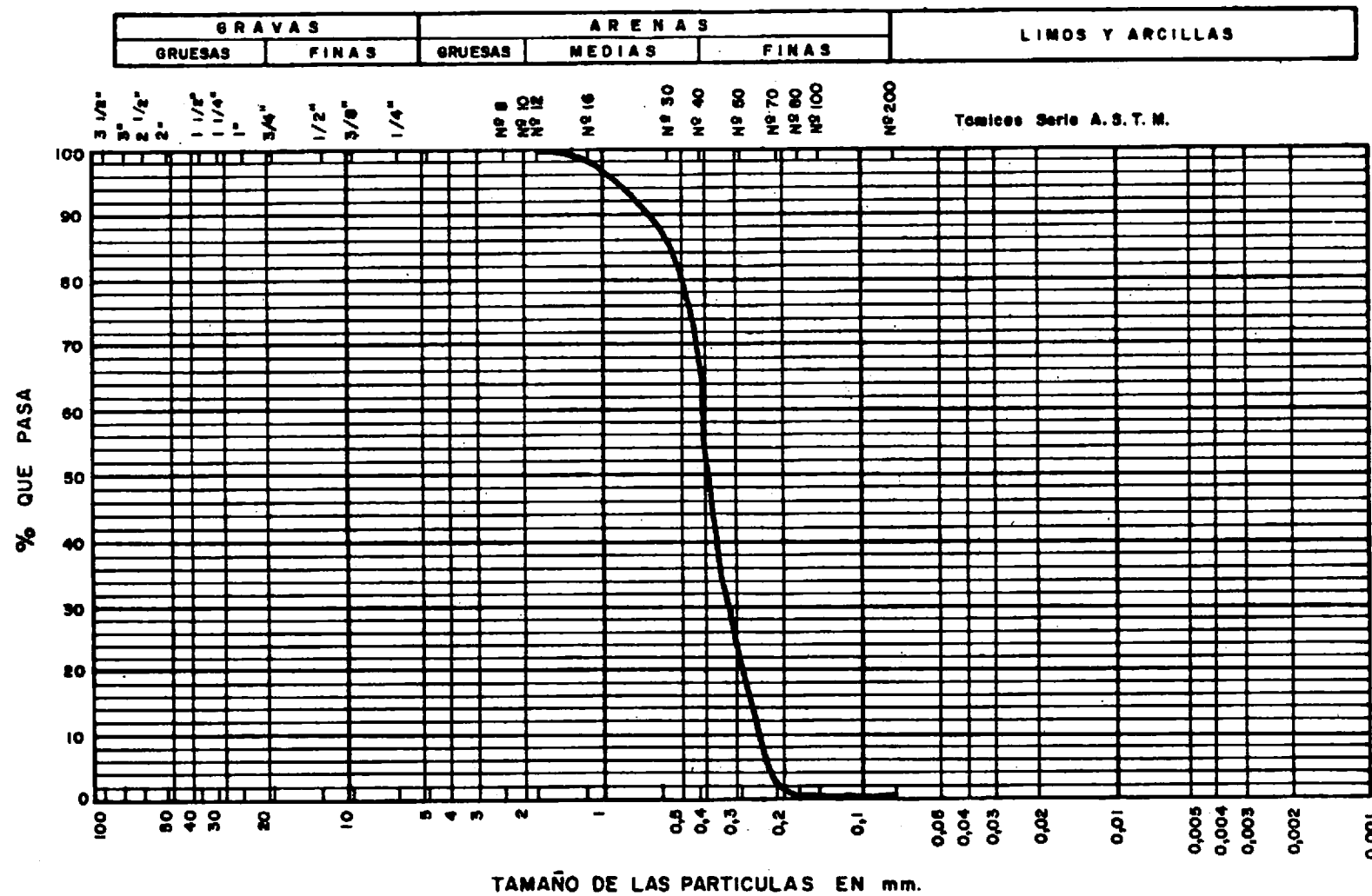
Exactamente lo mismo que en nº 1, añadiendo que el tramo rectilíneo - central es casi vertical puede ser una duna (ver geología local).

<u>Mediana</u>	<u>So</u>	<u>Desviación estandar</u>	
0,4	1,15	0,09	<u>Duna</u>

Muy bien clasificada.

ANALISIS GRANULOMETRICO

MUESTRA N° 0308 - TC - DR - 0082



MUESTRA 0308 - TC - DR - 0179.

La granulometría de este sedimento presenta muchos puntos de inflexión que corresponden a máximos (modas) o mínimos de la curva de frecuencia.

Este aspecto de la curva indica mezcla de depósitos diferentes dando una granulometría compleja que el transporte ulterior regulariza más o menos.

Pasando a granulometría dinámica veremos que los puntos de discontinuidad son reales, es decir no hay variación brusca en las leyes de transporte. (Ver geología local).

Dos interpretaciones pueden ser consideradas :

- a) La potencia hidráulicas será suficiente para transportar un depósito de granulometría regular (facies parabólica), pero las partículas correspondientes a los puntos de inflexión son poco abundantes.
- b) Los hiatos granulométricos corresponden a partículas que no pueden quedar retenidas y son objeto de una ablación preferencial de otras más gruesas que se desplazan por río en la superficie de suspensiones gradadas en el curso del depósito.

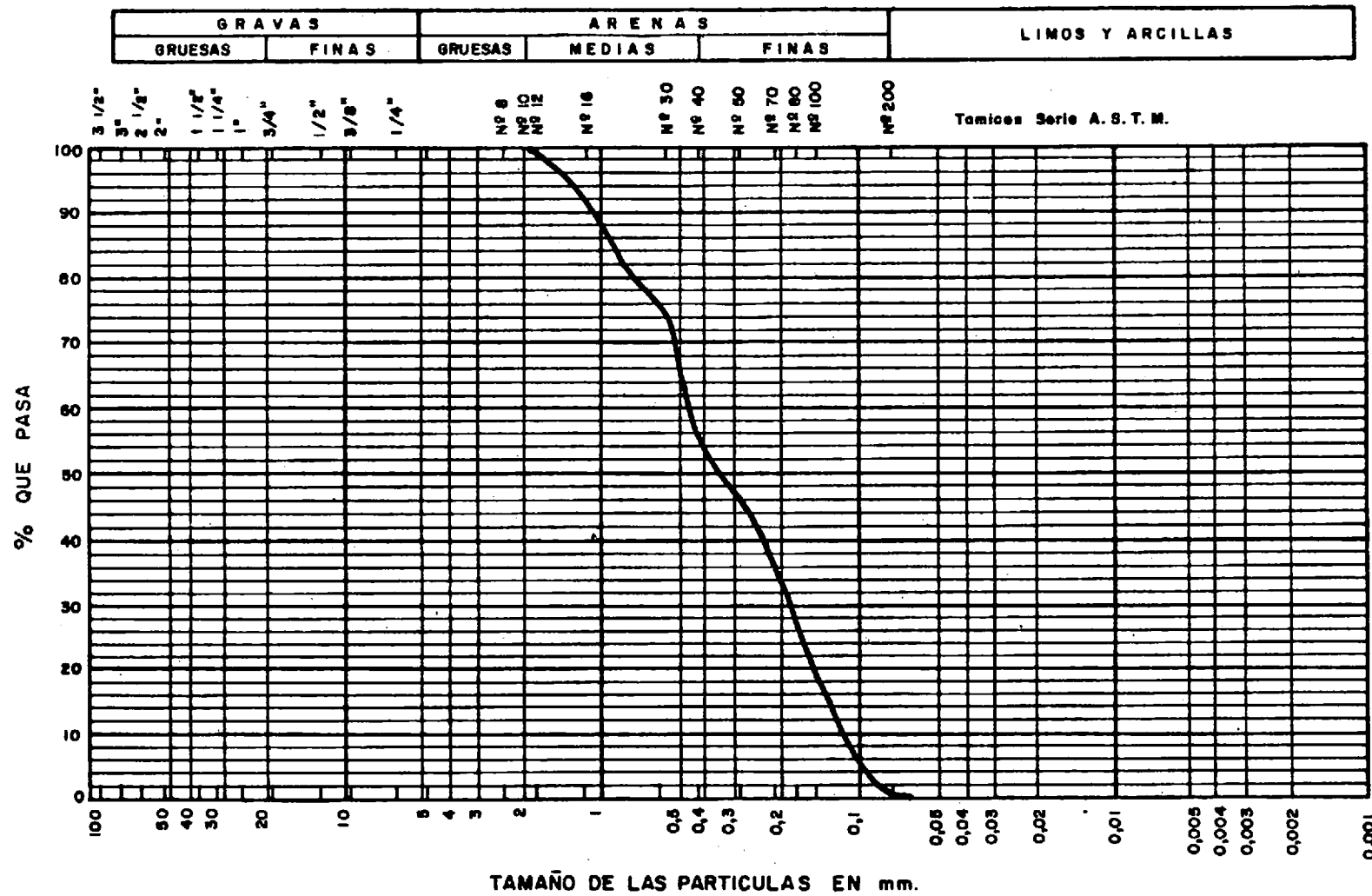
El aire del espacio granulométrico corresponde a facies sublogarítmica con valores de N próximos a cero positivos o negativos, correspondientes a un depósito litoral de zona protegida.

Mediana	So	Desviación estandar
0,345	3,10	1,3

Mal clasificado.

ANALISIS GRANULOMETRICO

MUESTRA N° 0308-TC-DR-0179



MUESTRA 0308 - TC - DR - 0191.

Esta muestra así como todas las demás presenta el aire de una "modulación" típica de arenas de playa, no conteniendo ninguna fracción limosa ni arcillosa.

La curva representativa de este sedimento corresponde a "facies granulométricos parabólicas", presentando una "modulación" marcada; con valores de N (Indice de evolución) más elevados que los de sedimentos fluviales de la misma mediana. Este sedimento de playa se diferencia netamente de los fluviales por la ablación total que ha sufrido, así como la ausencia total de finos.

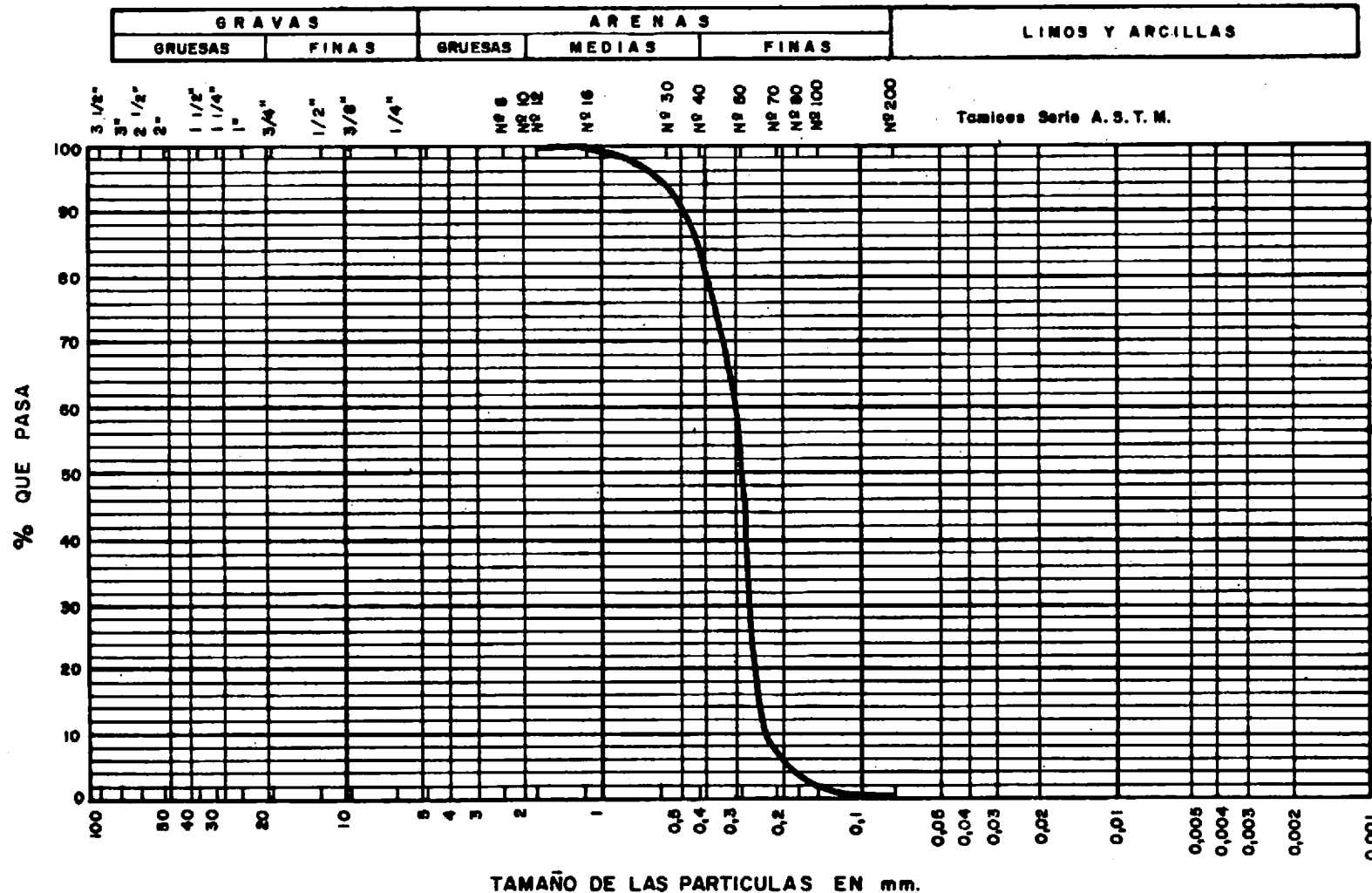
La simetría aparente en S desaparece en granulometría dinámica (dimensiones equivalentes), en cualquier caso la fracción grosera está caracterizada por facies hiperbólicas (N negativo) y la fracción fina valores de (N positivos) facies parabólica; esta dualidad se explica por la acción de una parte de los elementos groseros retenidos y los elementos finos tienden a meterse en los huecos que quedan. Los valores negativos y positivos de N cuantifican de alguna forma este doble mecanismo.

Hay una pequeña diferencia entre la moda y la mediana. La granulometría no presenta una moda en el sentido estricto del término; pero hay una zona modal que ocupa la casi totalidad del espacio granulométrico.

R. Lafaud ha demostrado que este tipo de granulometría L (bastante frecuente en formaciones antiguas) caracteriza a arenas de "playa de estuario" que en el curso de su camino hacia playas libres reducen su parte rectilínea central (facies logarítmica), a granulometría con una macia bien definida.

ANALISIS GRANULOMETRICO

MUESTRA N° 0308 - TC-DR-0191



Concluyendo, es un depósito de playa "modulado" por la acción de las olas superficiales ; de carácter parabólico pero con un índice de evolución N y O es muy elevado en la parte central, que corresponda a depósitos de "tracción" que caminan esencialmente por rólide y saltación corta.

Media	So (índice de clasificación)	Desviación estan.
0,294	1,16	0,1

MUESTRA 0409 - TC - HU - 1.200.

Curva netamente plurimodal (punto de "inflexión") en el tramo central - con una "mesa", este aspecto de la curva corresponde a un sedimento - que es mezcla de varios depósitos quizás aportes laterales que un transporte ulterior ha modulado algo. Pasando a granulometría dinámica vemos que el punto de inflexión desaparece lo que significa que hay un cambio brusco en las leyes hidrodinámicas en los tamaños de ciertas partículas.

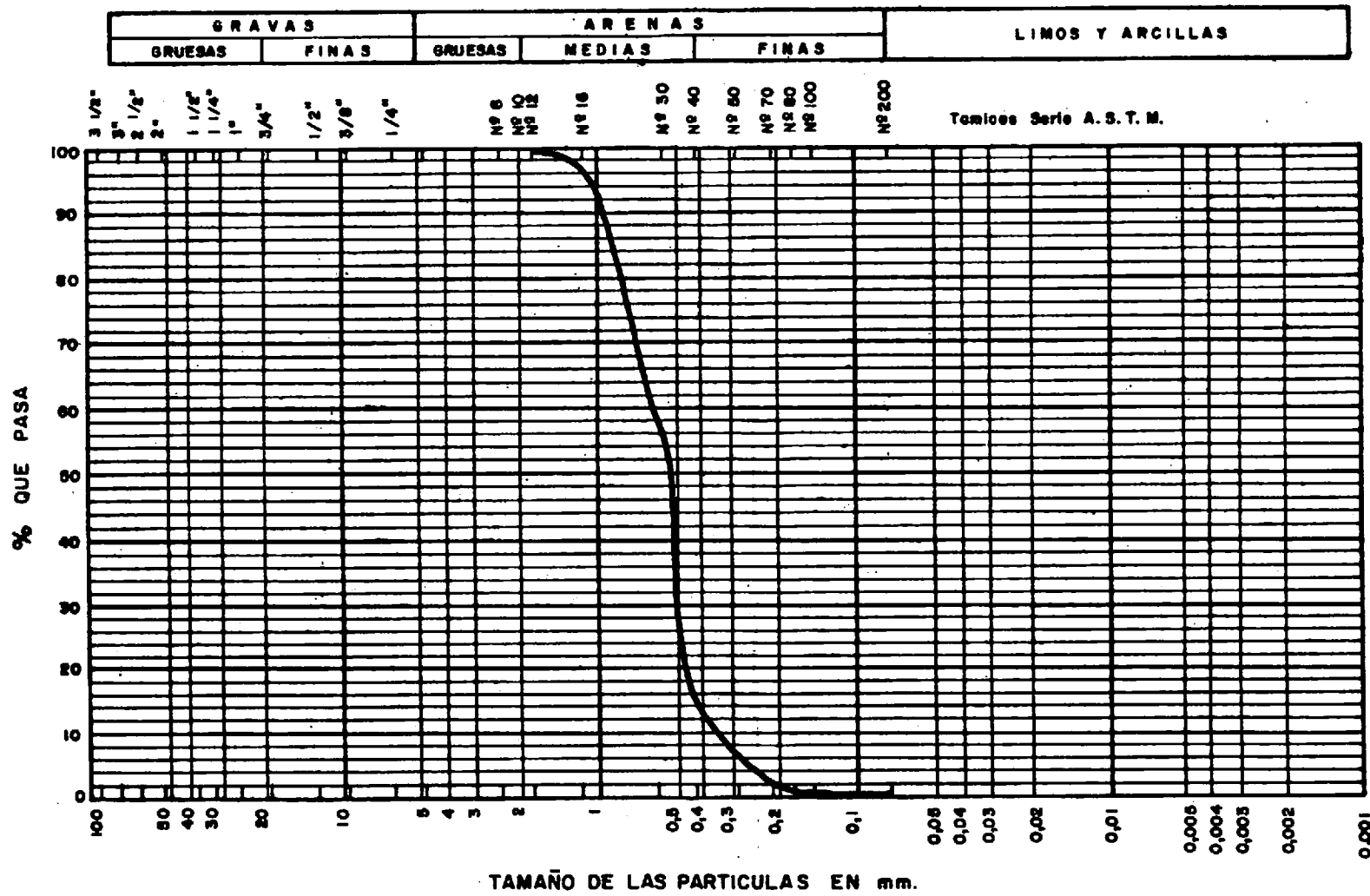
Otra interpretación puede ser que los hiatos granulométricos corresponden a partículas que no pueden ser atrapadas y se desplazan por rolido - con una ablación preferencial.

Mediana	So	Desviación estandar
0,52	1,08	0,09

Bien clasificada.

ANALISIS GRANULOMETRICO

MUESTRA N° 0409-TC-HU-1200



MUESTRA 0409-TC - HU - 1. 201.

Desde el punto de vista hidrodinámico se puede decir exactamente igual que en la nº 1, pero menos evolucionada pues hay una mayor diferencia entre la media y la mediana.

Mediana	So	Desviación estandar
1,194	1,76	0,5

Bién clasificado.

ANALISIS GRANULOMETRICO

MUESTRA N° 0409-TC-HU-1201

